



Chutes de Blocs Risques Rocheux Ouvrages de Protection



L'interférométrie radar satellitaire pour les déformations gravitaires

Atelier télédétection pour les aléas gravitaires-Jardin du Lautaret

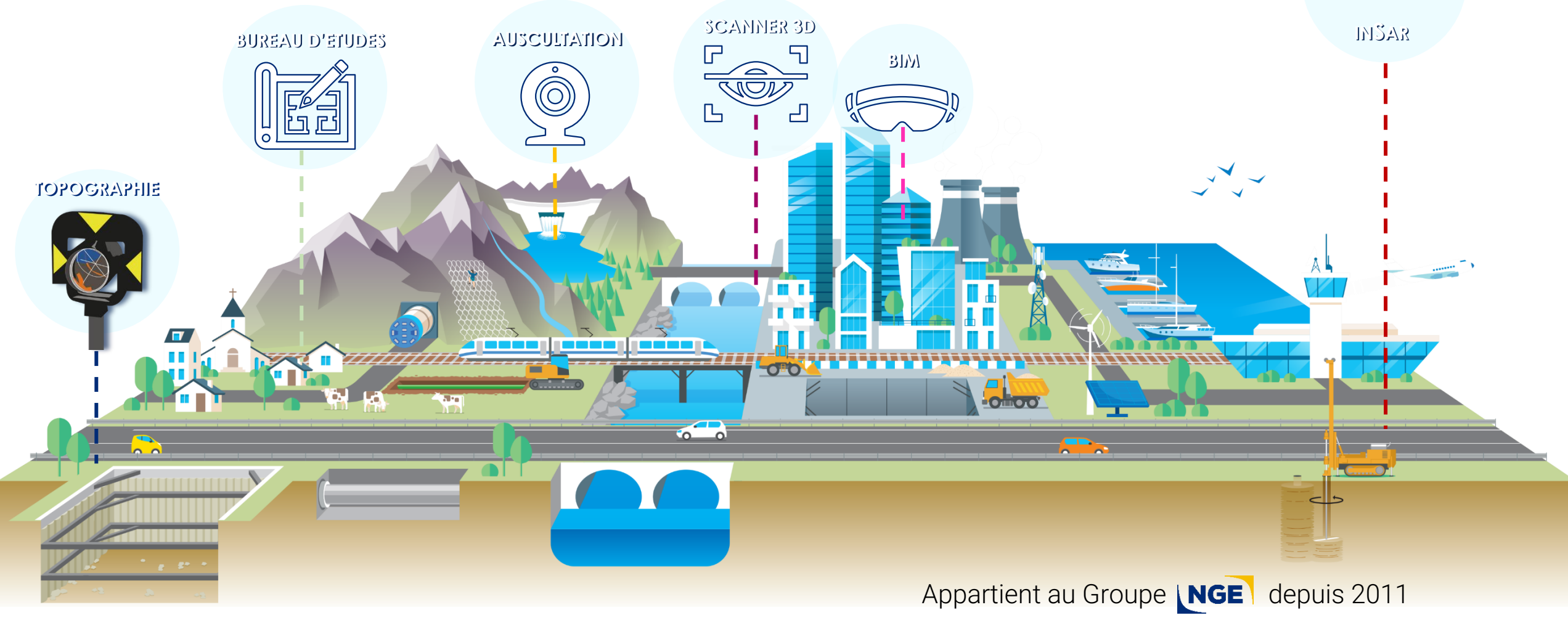








MIRE, LA TOPOGRAPHIE AU SERVICE DU MULTI-MÉTIERS











BUREAU INSAR AURIGAMI

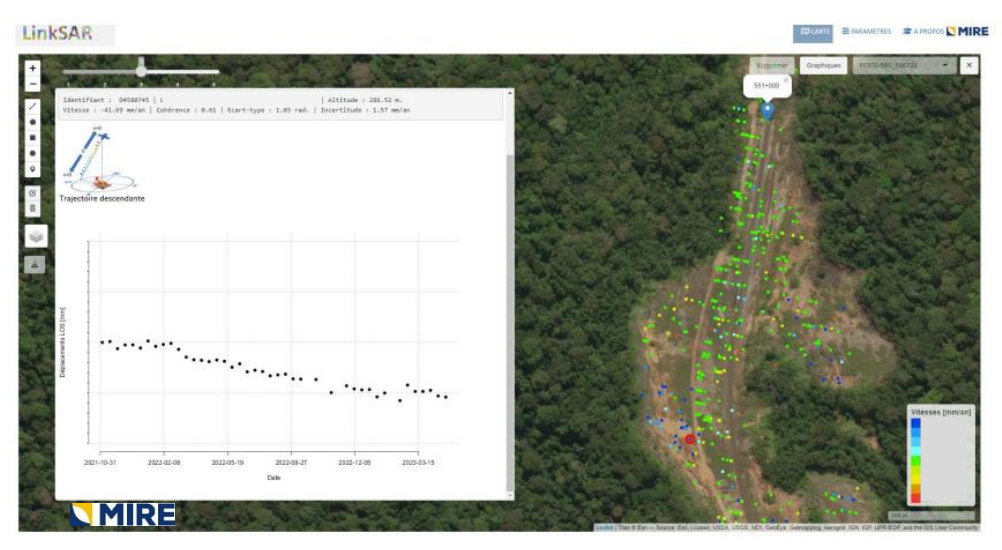


est un bureau dédié à l'InSAR de la société MIRE

Exemples de références sur des sujets de déformations gravitaires

- 20 ans de rétro-analyse pour TELT
- 5 ans d'étude historique en amont de projet de construction pour caractériser un glissement lent pour EGIS
- Suivi d'instabilités gravitaires qui impactaient un ouvrage pour le compte de la SFTRF
- Suivi des talus et des pentes environnantes sur 560 km de VF au Gabon et sur 1000 km de VF au Pakistan





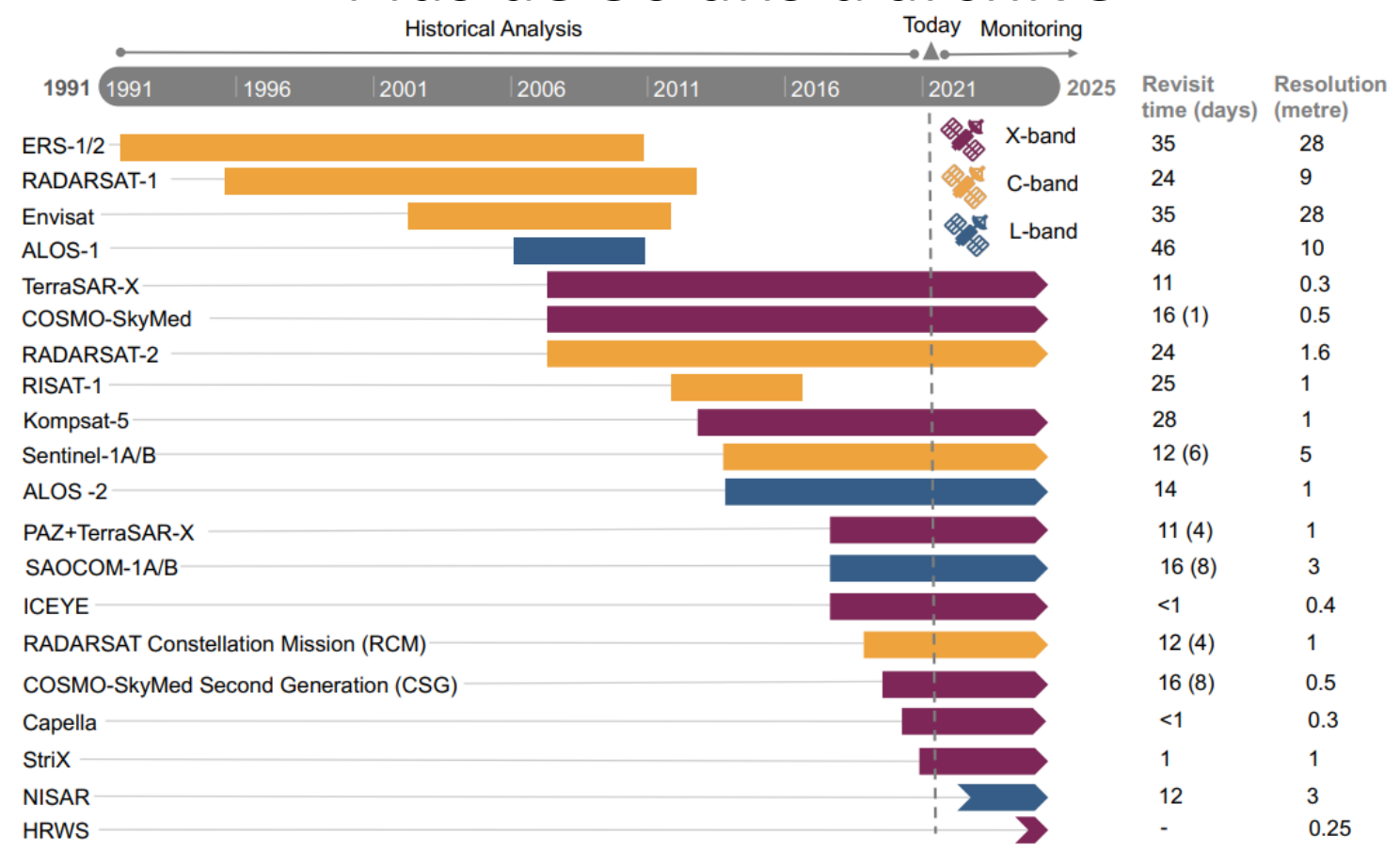








Plus de 30 ans d'archive



Macchiarulo, et al. (2021). Multi-Temporal InSAR for transport infrastructure monitoring: Recent trends and challenges.

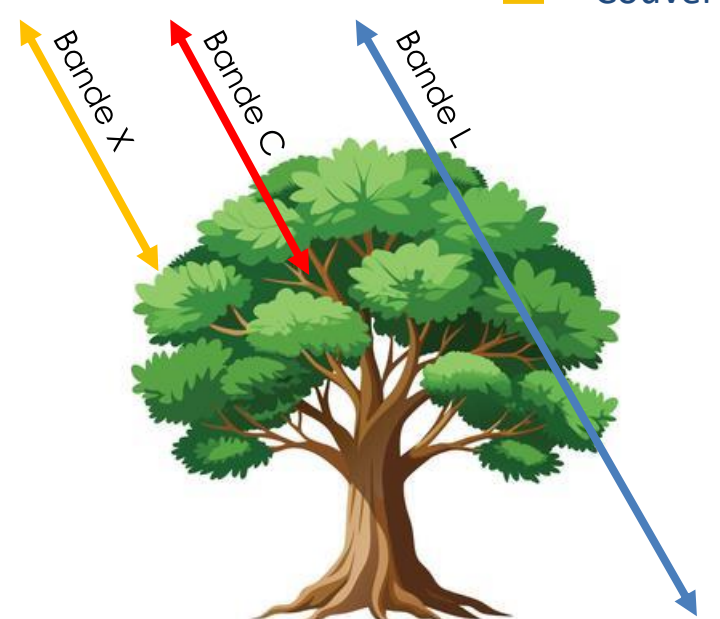


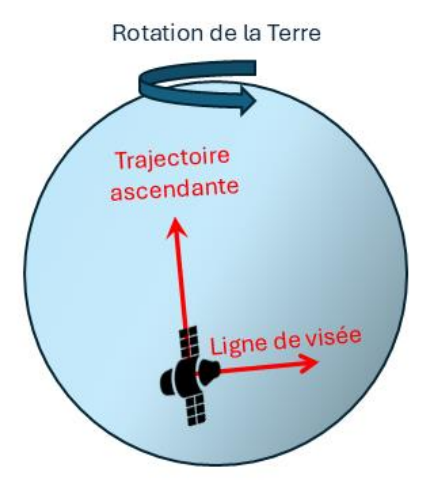


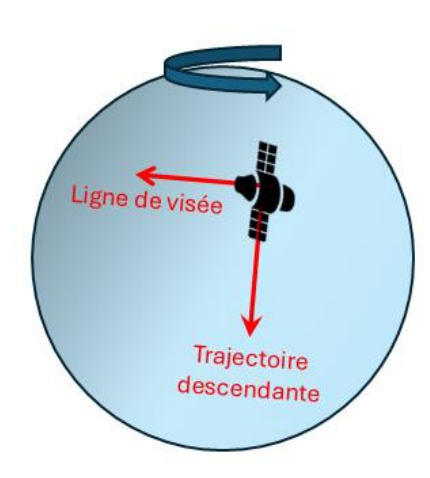




- Capteurs actifs : opérationnels de jour comme de nuit
- Courtes longueurs d'ondes : mesures possibles même avec une couverture nuageuse importante
- Couverture spatiale : une seule image couvre une très grande superficie
- Couverture quasi-globale : accessibilité des données







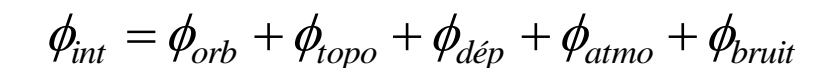


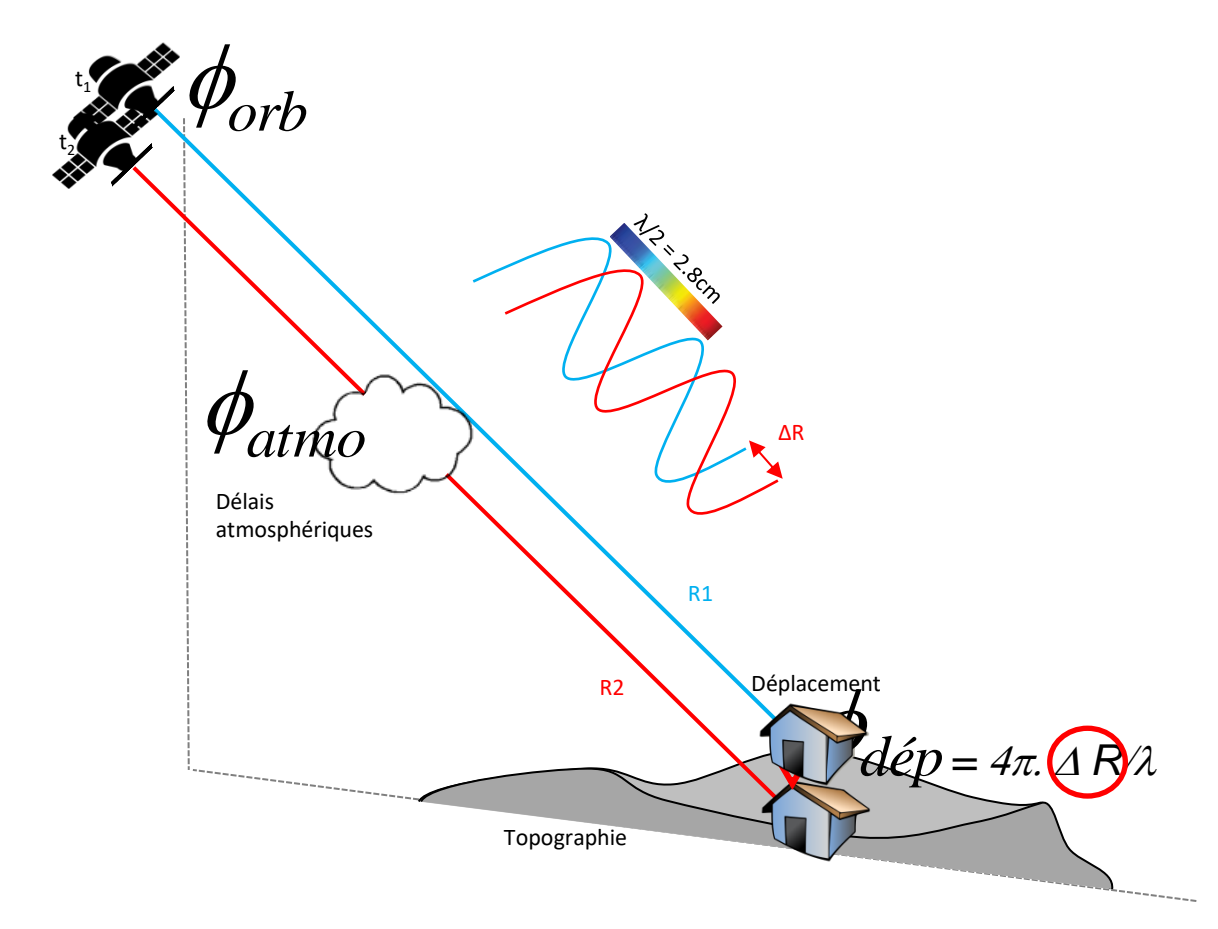




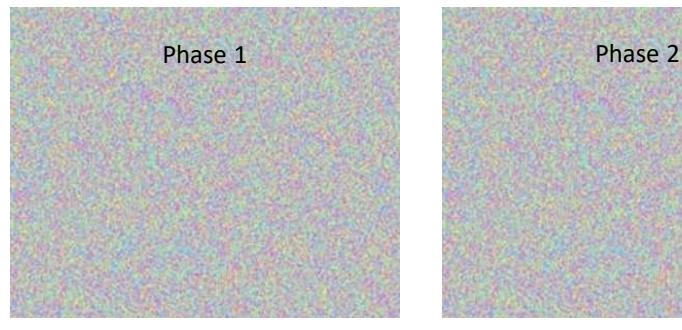


L'INTERFÉROMÉTRIE RADAR SATELLITAIRE

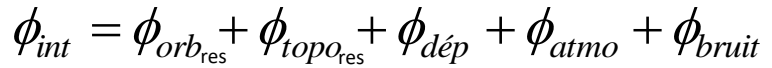


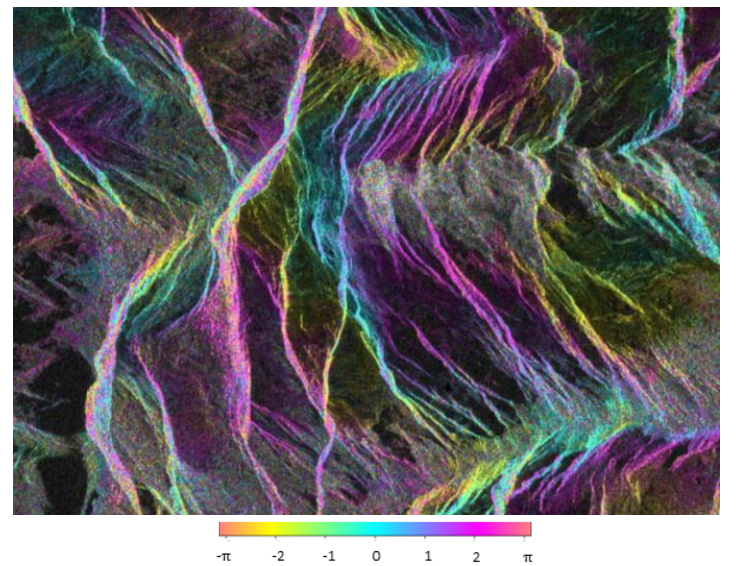


Mesure du déplacement relatif dans la ligne de visée



Phase 1 - Phase 2





Interférogramme différentiel





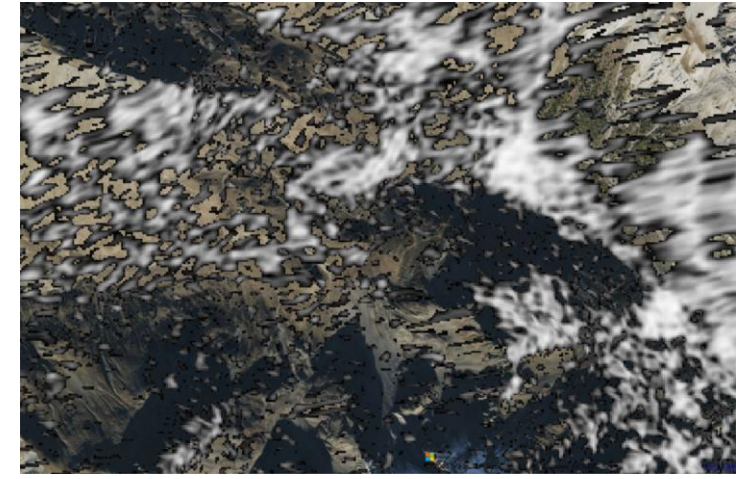




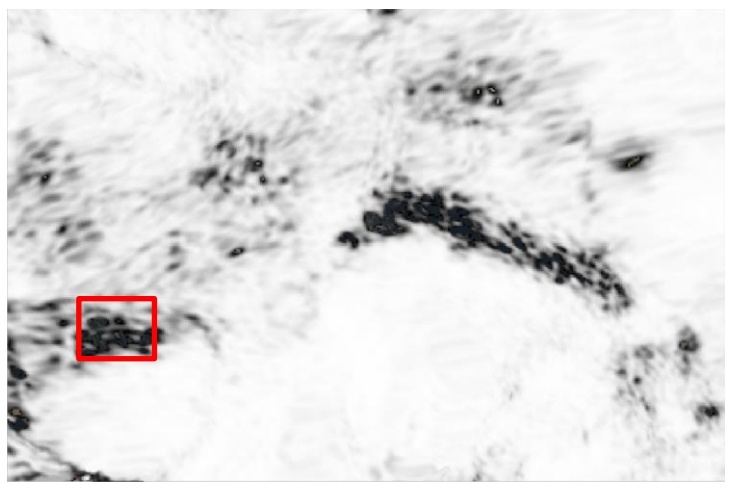




Jardins du Lautaret



S1A/S1C - CC - 28/04/2025-04/05/2025



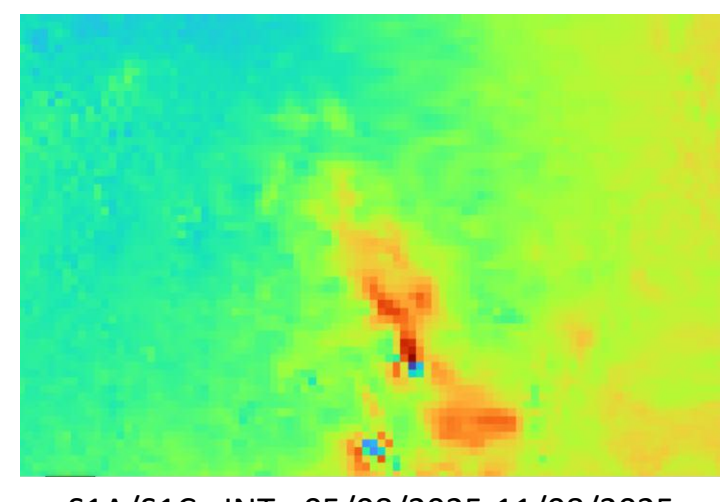
S1A/S1C - CC - 05/08/2021-11/08/2021



Glacier rocheux du Thabor-Cheval Blanc



S1A/S1C - CC - 05/08/2021-11/08/2021



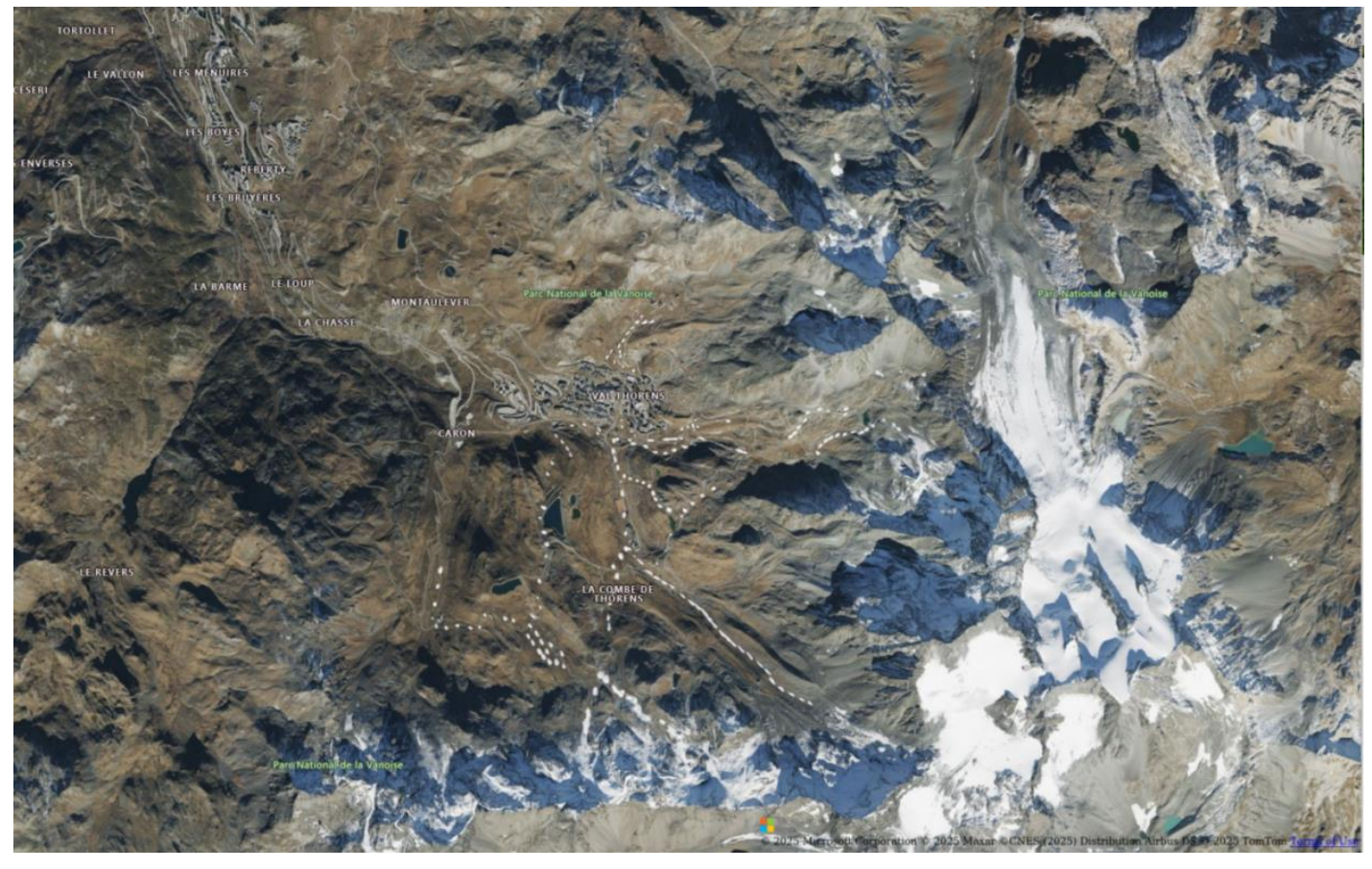
S1A/S1C - INT - 05/08/2025-11/08/2025











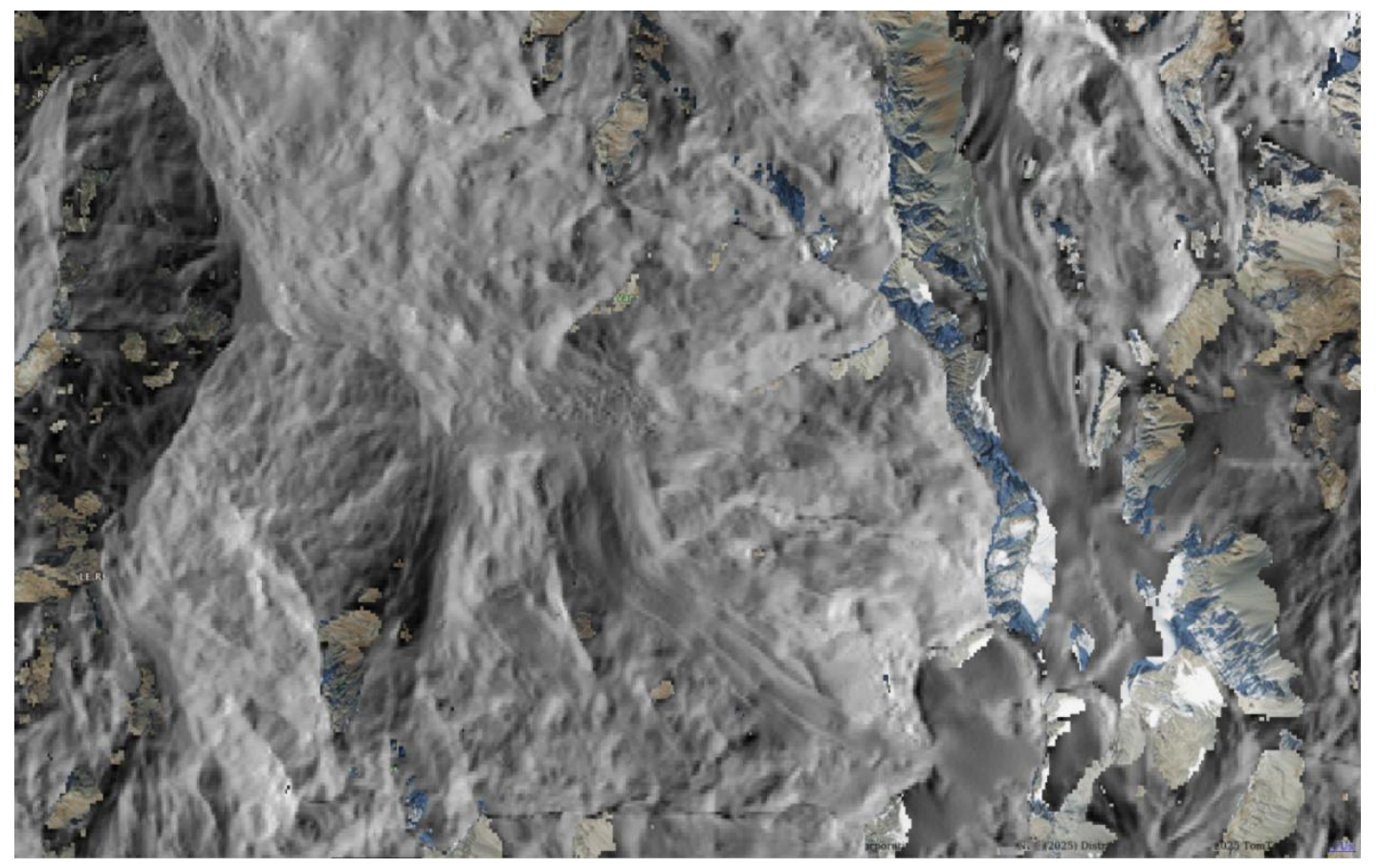
Secteur de Val Thorens











Carte angle d'incidence (bande X, haute résolution) avec masque zones d'ombre et de repliement – Secteur de Val Thorens

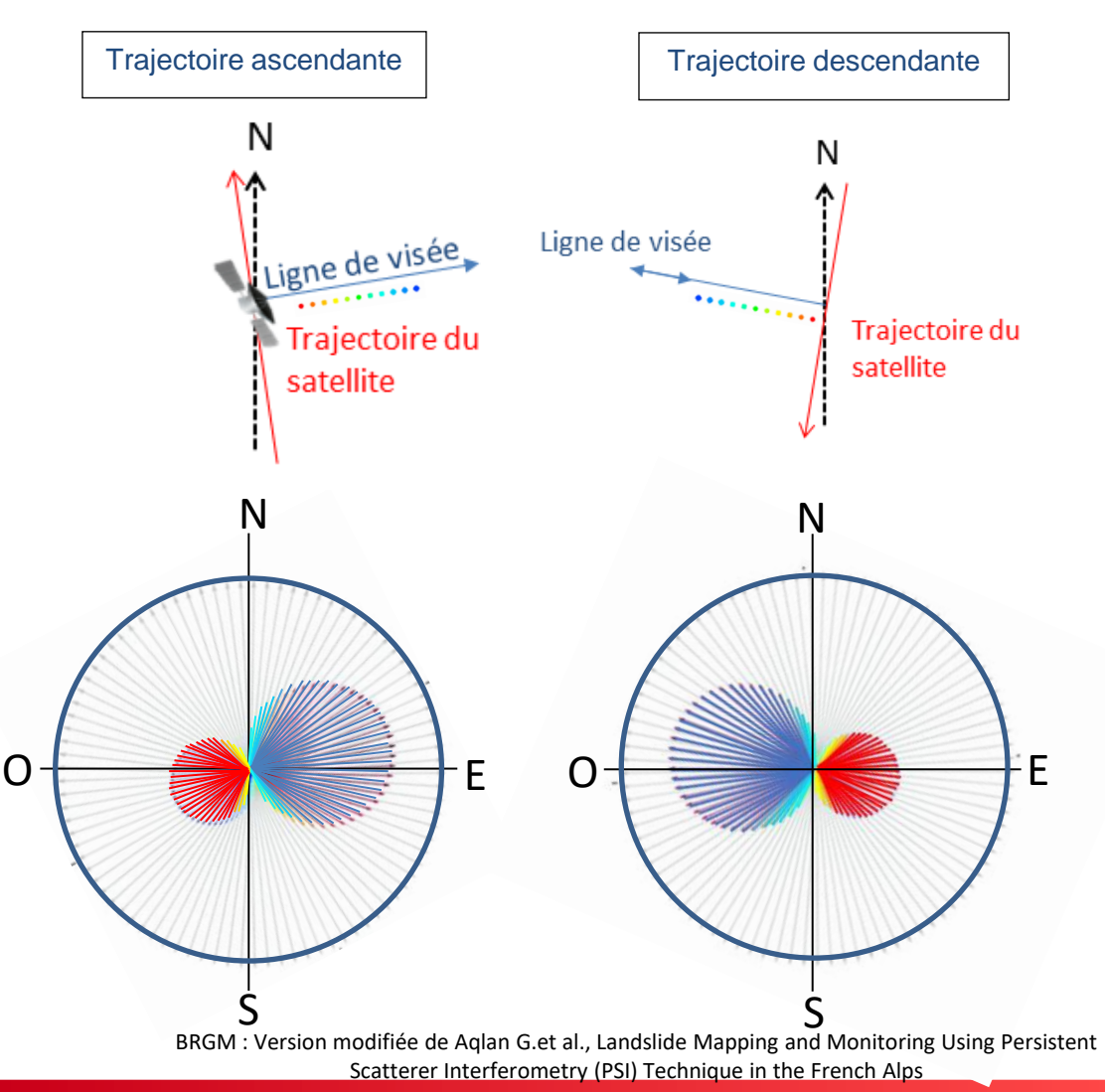




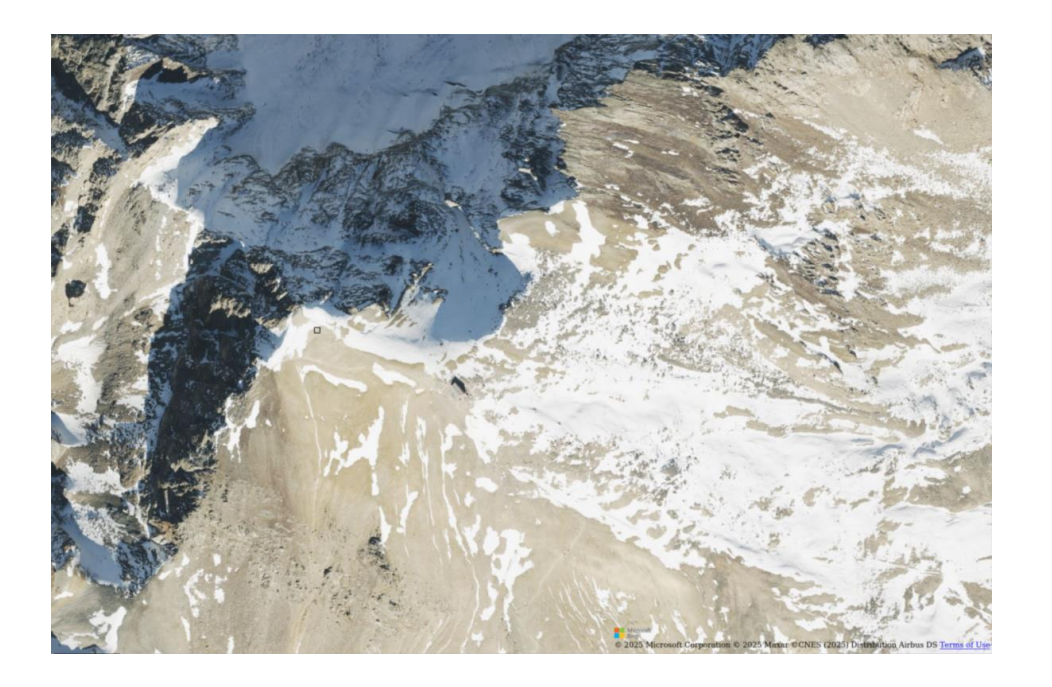




VISÉE LATÉRALE ET ANGLE D'INCIDENCE



- L'InSAR n'est pas sensible aux déplacements horizontaux Nord/Sud
- Les valeurs LOS sur deux pentes d'orientations différentes ne doivent pas être comparées directement entre elles



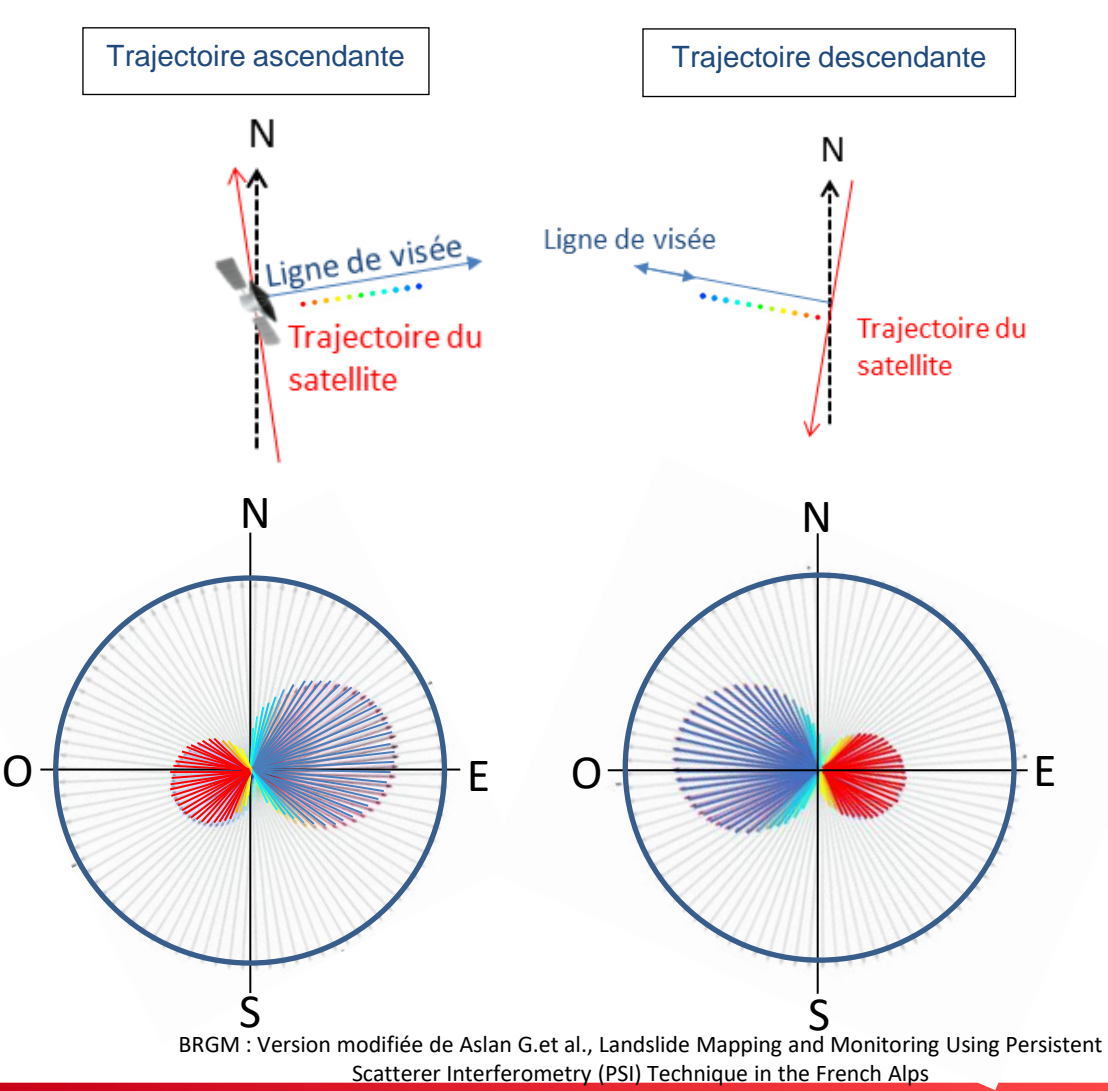




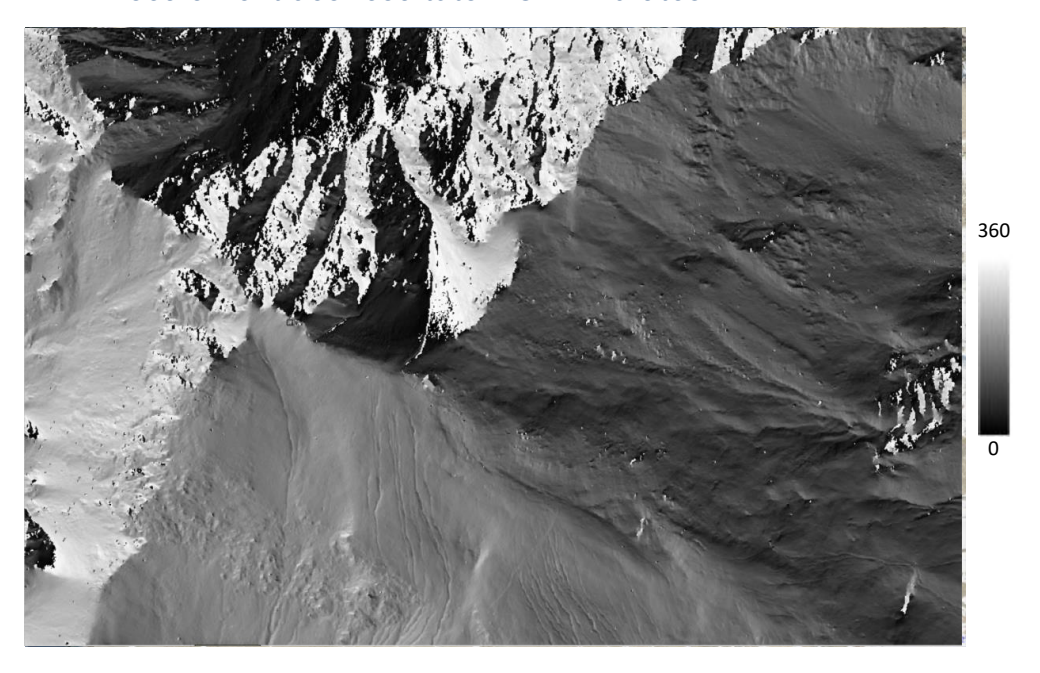




VISÉE LATÉRALE ET ANGLE D'INCIDENCE



- L'InSAR n'est pas sensible aux déplacements horizontaux Nord/Sud
- Autrement dit : deux déplacements de même amplitude sur deux pentes d'orientation et/ou d'inclinaison différentes peuvent donner des mesures LOS différentes
- Livrable : il faut fournir une explication détaillée et pas seulement des résultats InSAR « brutes »







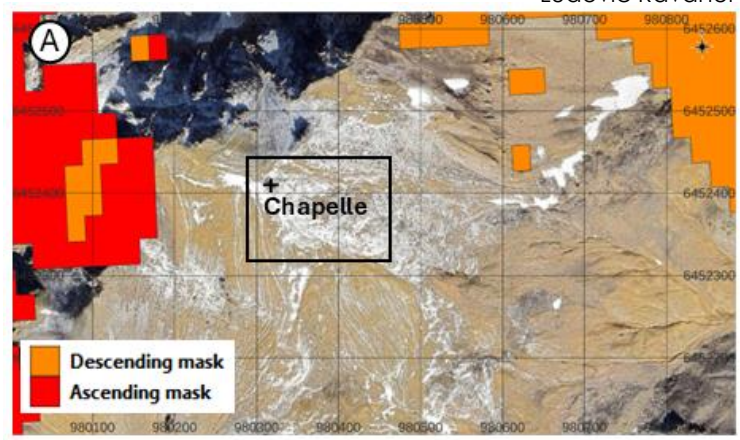


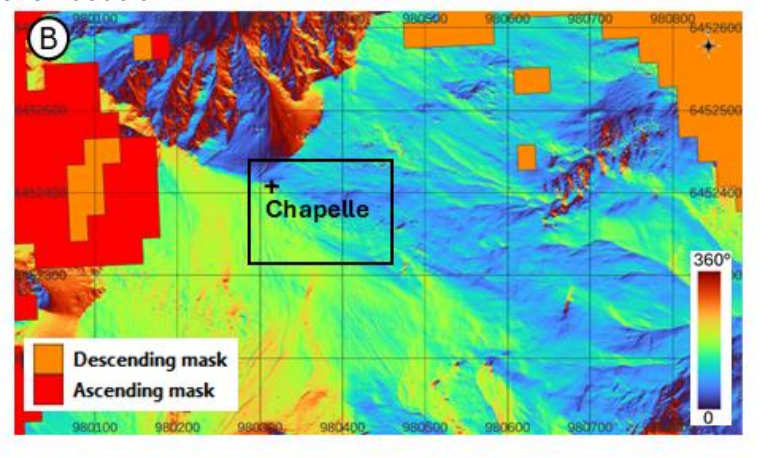


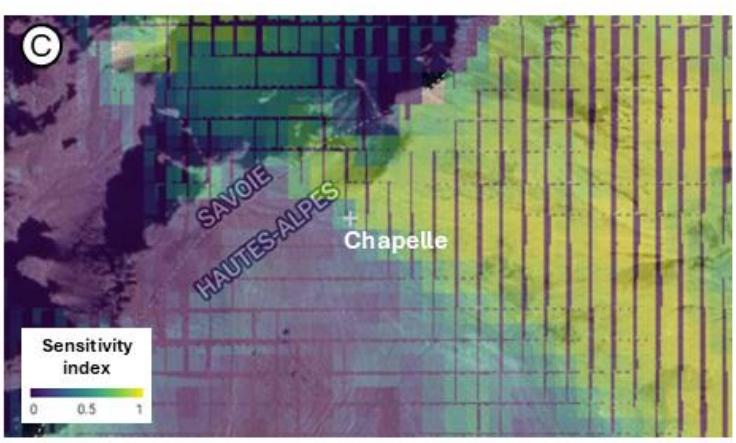
La chapelle du Thabor (3165 m, Hautes-Alpes), un patrimoine sensible à l'évolution du permafrost de montagne

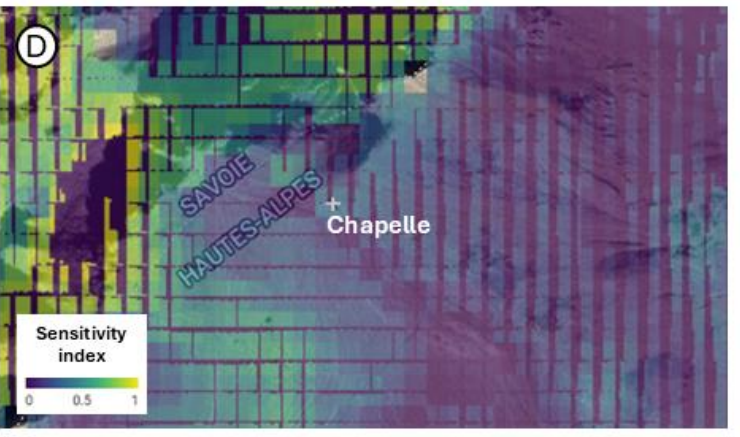
Jan. 2025. Géomorphologie Relief Processus Environnement 30(3)

Pierre-Allain Duvillard, Matthias Jauvin, Hubert Lempereur, Ahmad Ghorbani, Laurent Le Corroller, Jessy Richard, André Revil, Ludovic Ravanel et Pierre Vaudelet









Extrait carte d'indice mondial de sensibilité InSAR pour le suivi de la déformation des glissements de terrain (van Natijne et al., 2022)

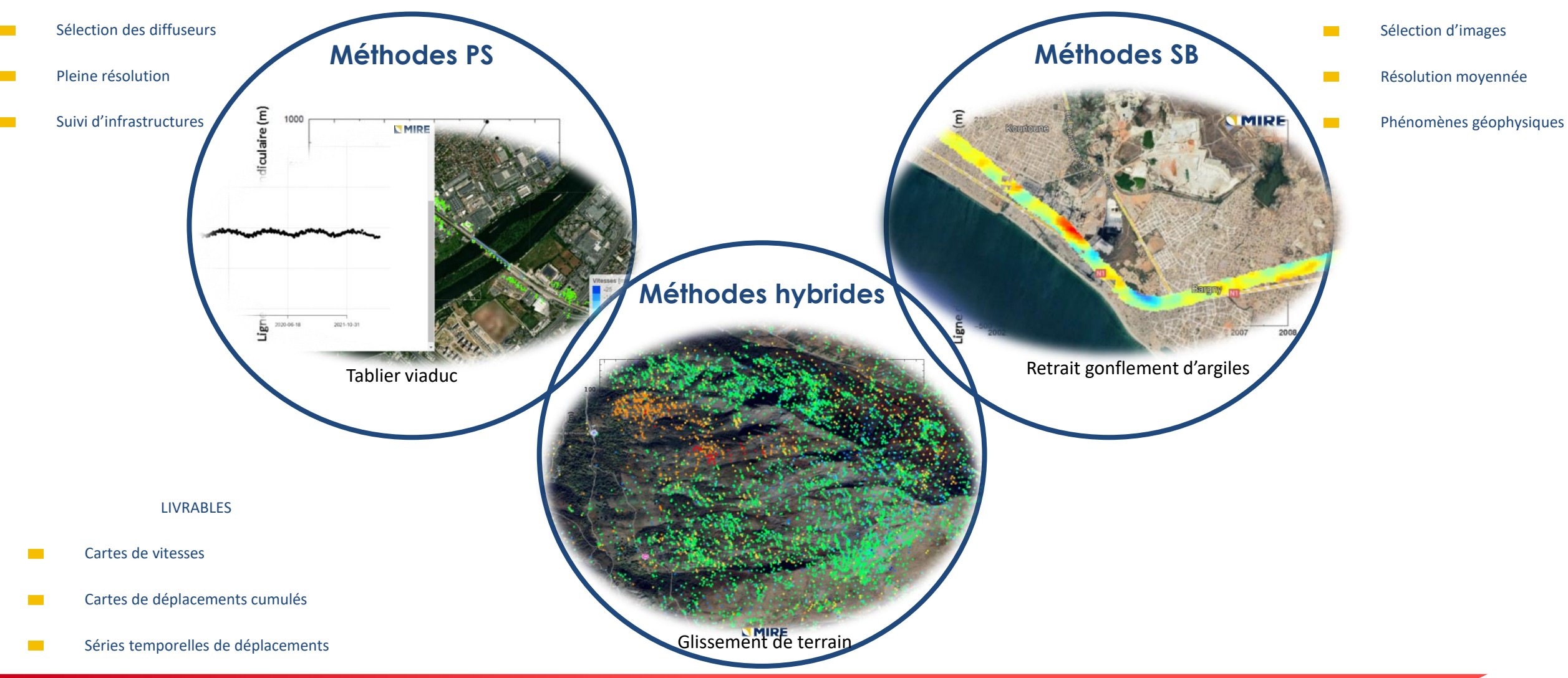






MIRE

MÉTHODES MULTI-TEMPORELLES











PRÉCISION VITESSE DE DÉPLACEMENT

Satellite	Bande	Resolution	Emprise	Temps de revisite	Potentiel avec Végétation	Précision vitesse annuelle	-	Référence <
TerraSAR-X	Х	3 m	30 km x 50 km	4–11	Faible	1 mm/an	_	D / .l
Cosmo	Х	3 m	40 km x 40 km	1–16	Faible	1 mm/an		Déplacemei linéaire
Sentinel	С	20 m	250 km x 250 km	6–12	Modéré	~2 mm/an		
ALOS-2	L	3 m	55 km x 70 km	14	Excellent	1 cm/an	\Rightarrow	nécessité d

< 2km

tivement plane

nent « lent » et comportement

nécessité de fournir des indicateurs qualité/ précision pour chaque mesure et les expliciter





PRÉCISION VITESSE DE DÉPLACEMENT

Satellite	Bande	Resolution	Emprise	Temps de revisite	Potentiel avec Végétation	Précision vitesse annuelle	-	Référence < 2km Zone relativement plane
TerraSAR-X	X	3 m	30 km x 50 km	4–11	Faible	1 mm/an	l _	Dánia ann ant i lant ii at ann
Cosmo	Х	3 m	40 km x 40 km	1–16	Faible	1 mm/an		Déplacement « lent » et cor linéaire
Sentinel	С	20 m	250 km x 250 km	6–12	Modéré	~2 mm/an		
ALOS-2	L	3 m	55 km x 70 km	14	Excellent	1 cm/an	\Rightarrow	nécessité de fournir des ind précision pour chaque mesu

comportement

ndicateurs qualité/ sure et les expliciter

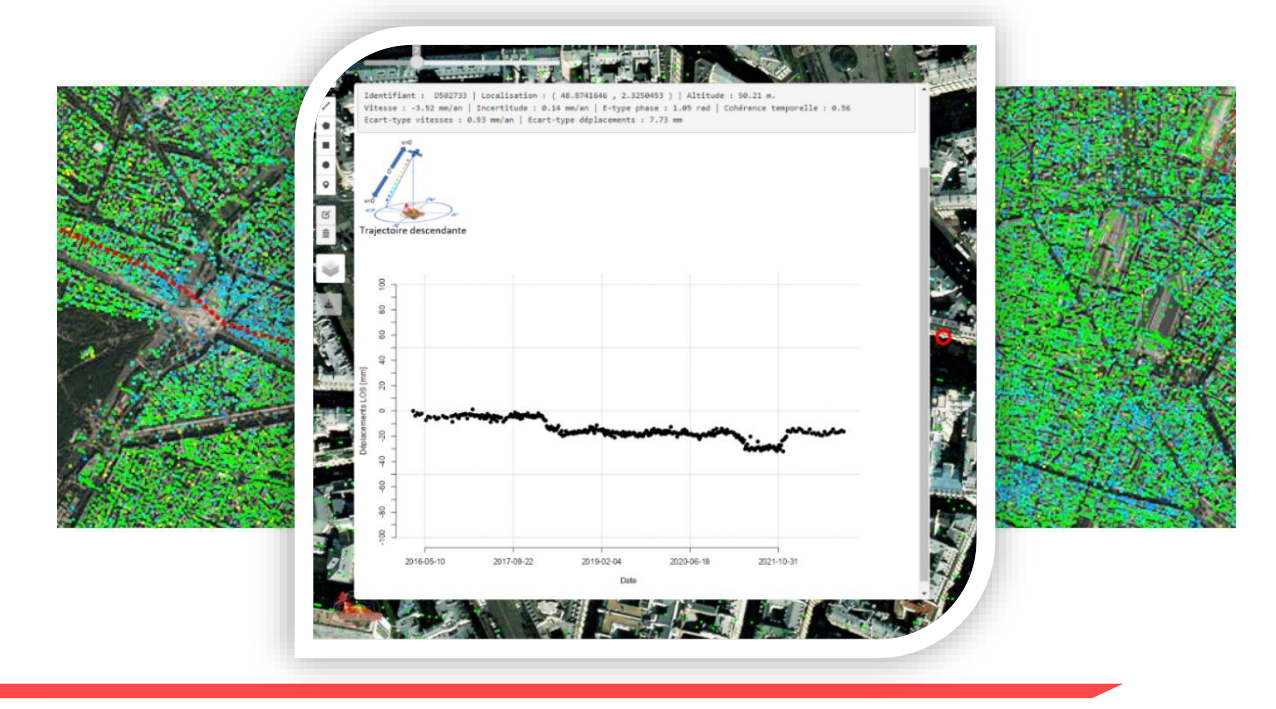
Déplacement max. mesurable sans ambiguïté : $\lambda/2$

Type de mesure	Intervalle 1	Intervalle 2	Intervalle 3
Prismes	-0.4	-11.9	-8.5
InSAR	0.1	-11.3	-9.5

Estimation de la moyenne locale des vitesses linéaires de déformation (mm/an) sur 3 intervalles de temps à partir des mesures terrestres et des mesures satellitaires

- Précision centimétrique à millimétrique
- Précision % longueur d'onde, méthode de traitement et de la zone d'étude







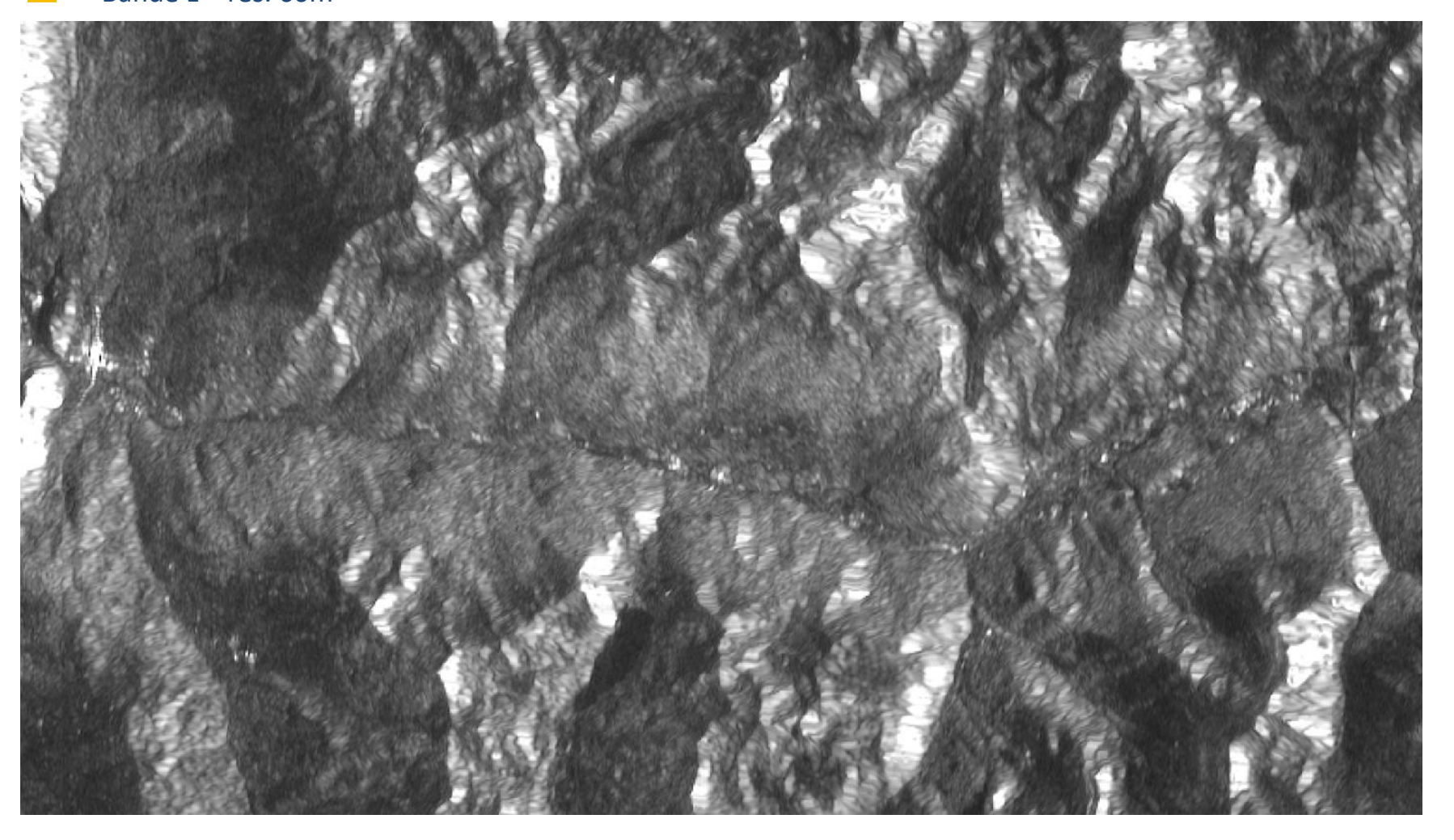








Bande L – rés. 60m



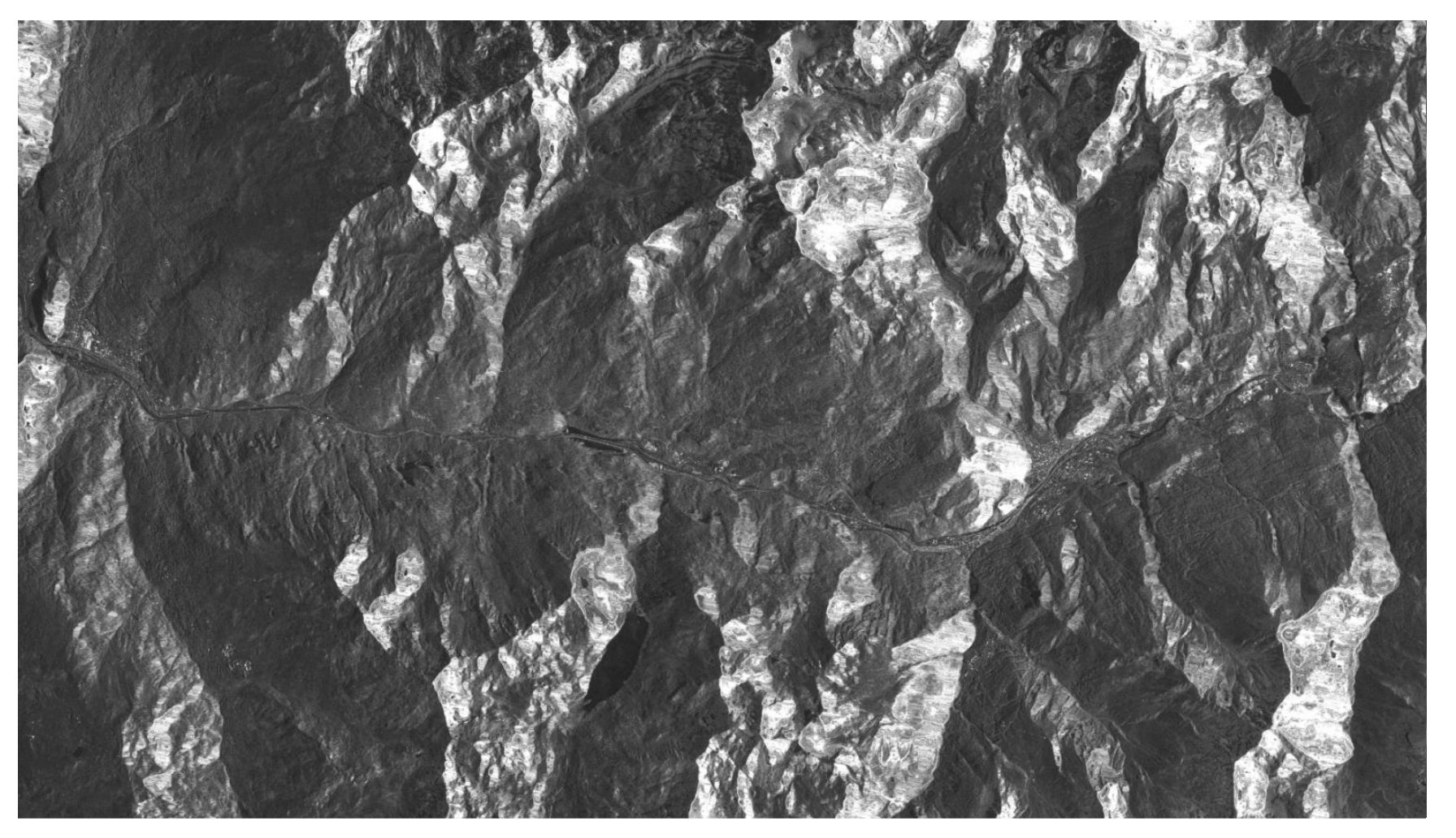








Bande X – rés. 3m











1/5 ALOS-2



Interf. 21/07/2016-20/07/2017

La bande L pour cartographier les aléas



Interf. 21/07/2016-20/07/2017 - Walsoilee Cotérieux







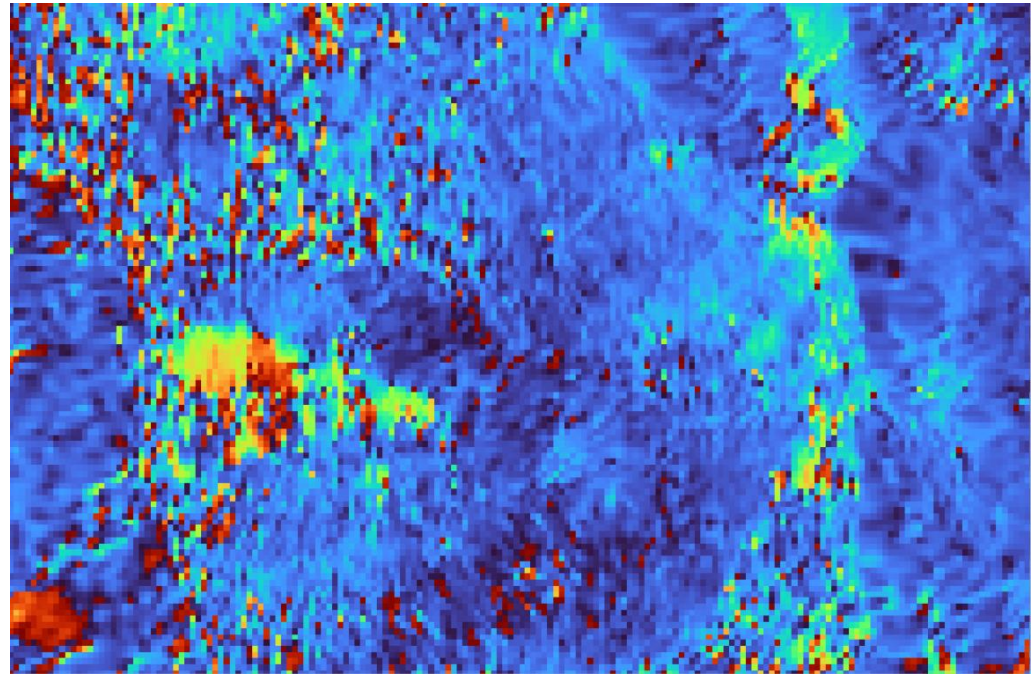




1/5 ALOS-2



La bande L vs bande C



Interf. ALOS-2 21/07/2016-20/07/2017 - Valmeinier







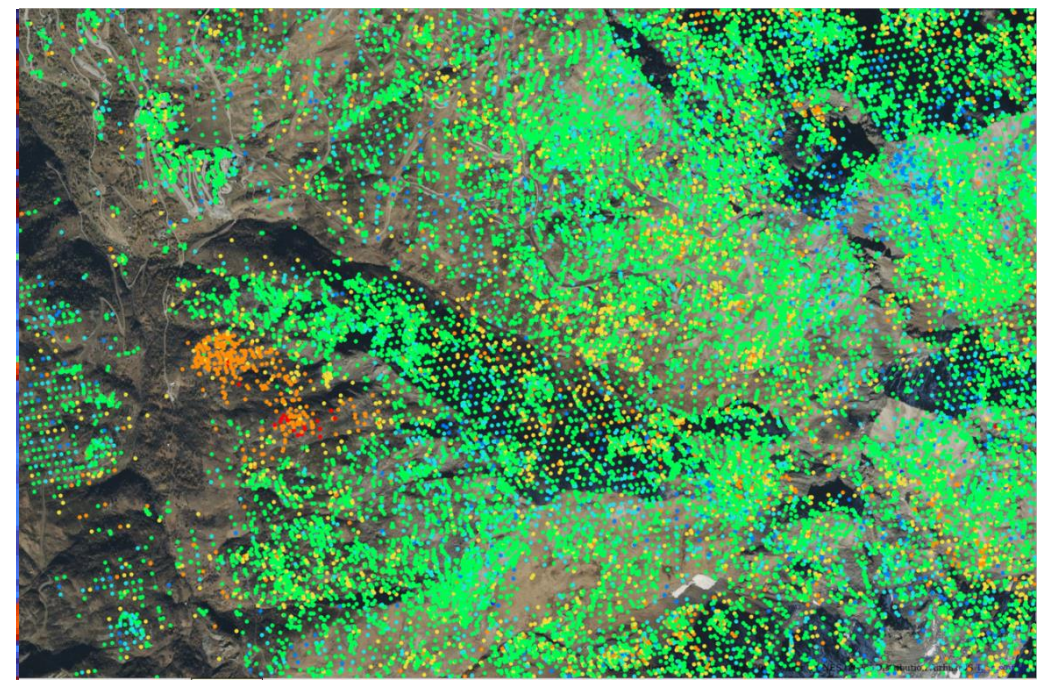




1/5 ALOS-2



La bande L vs bande C



S1 - Carte des vitesses LOS 06/2021 – 10/2021 - Valmeinier

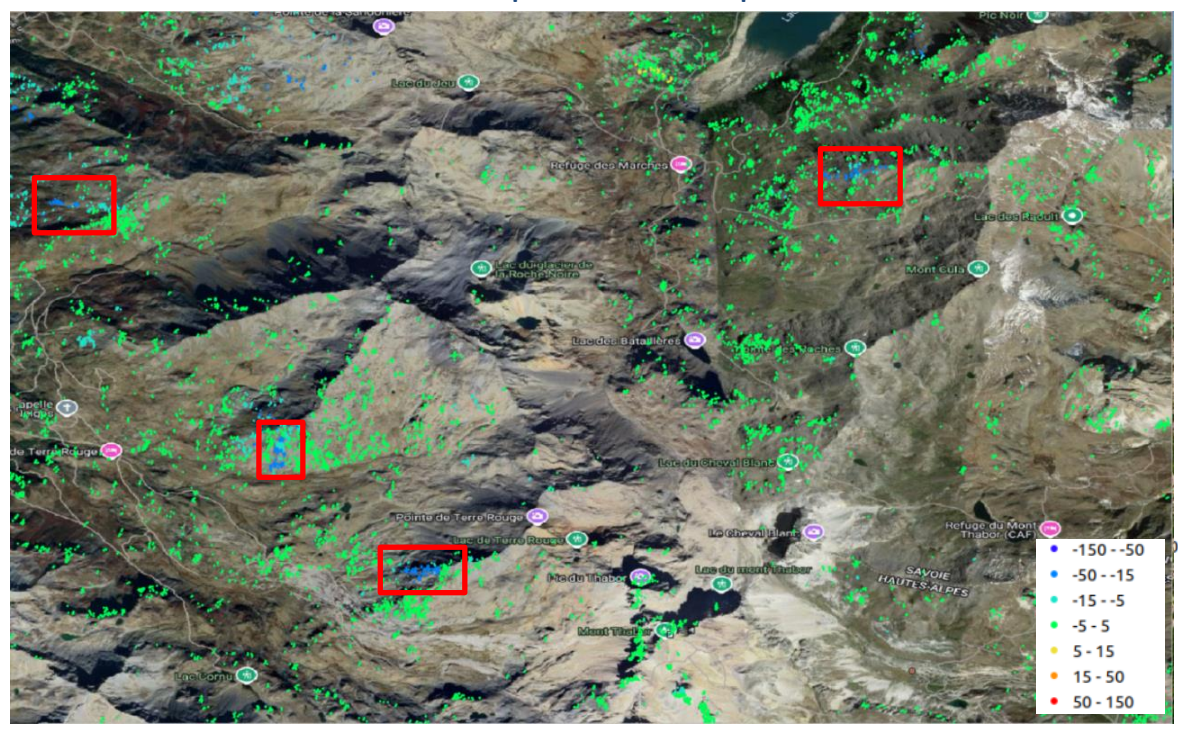




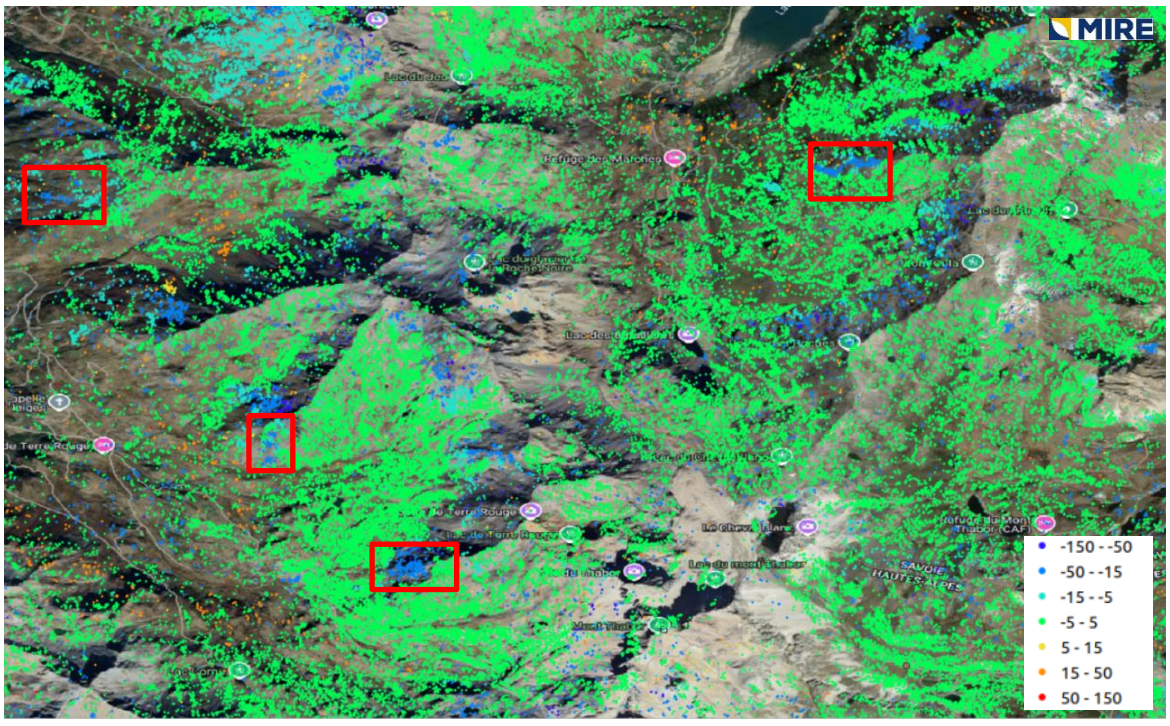




Traiter moins pour obtenir plus...



Carte des vitesses moyennes LOS entre 2019 et 2023 - EGMS



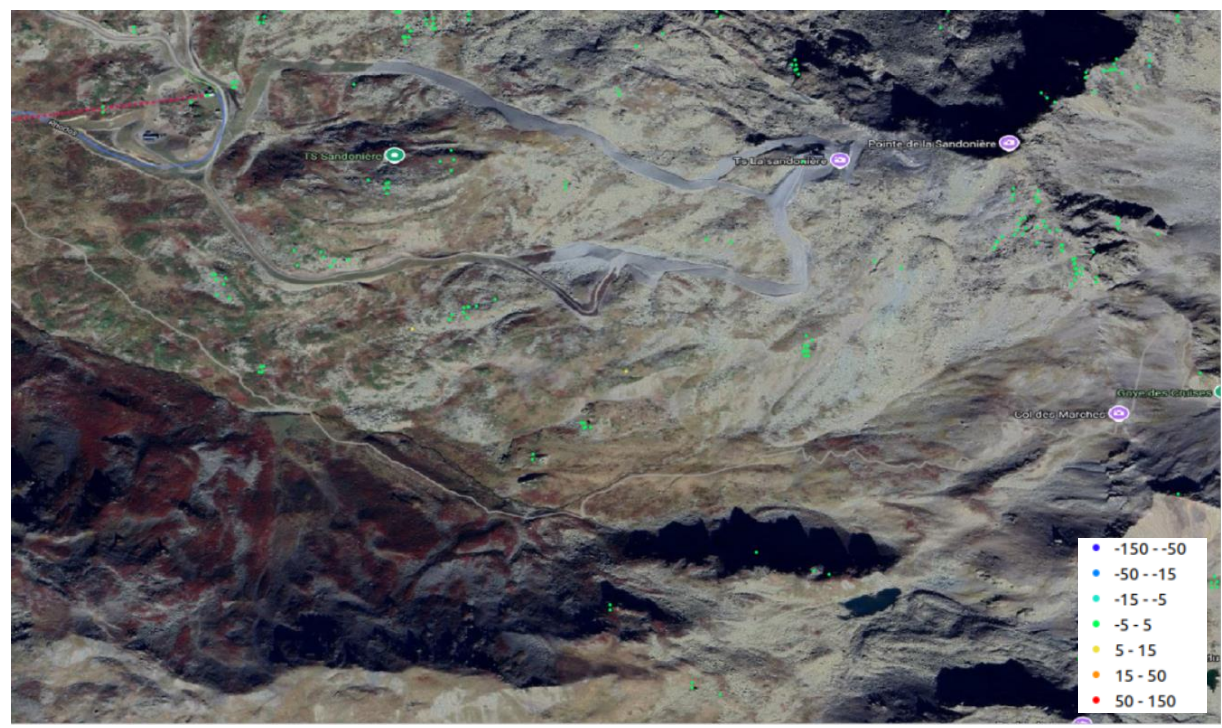
Carte des vitesses moyennes LOS entre 2015 et 2023 - MIRE



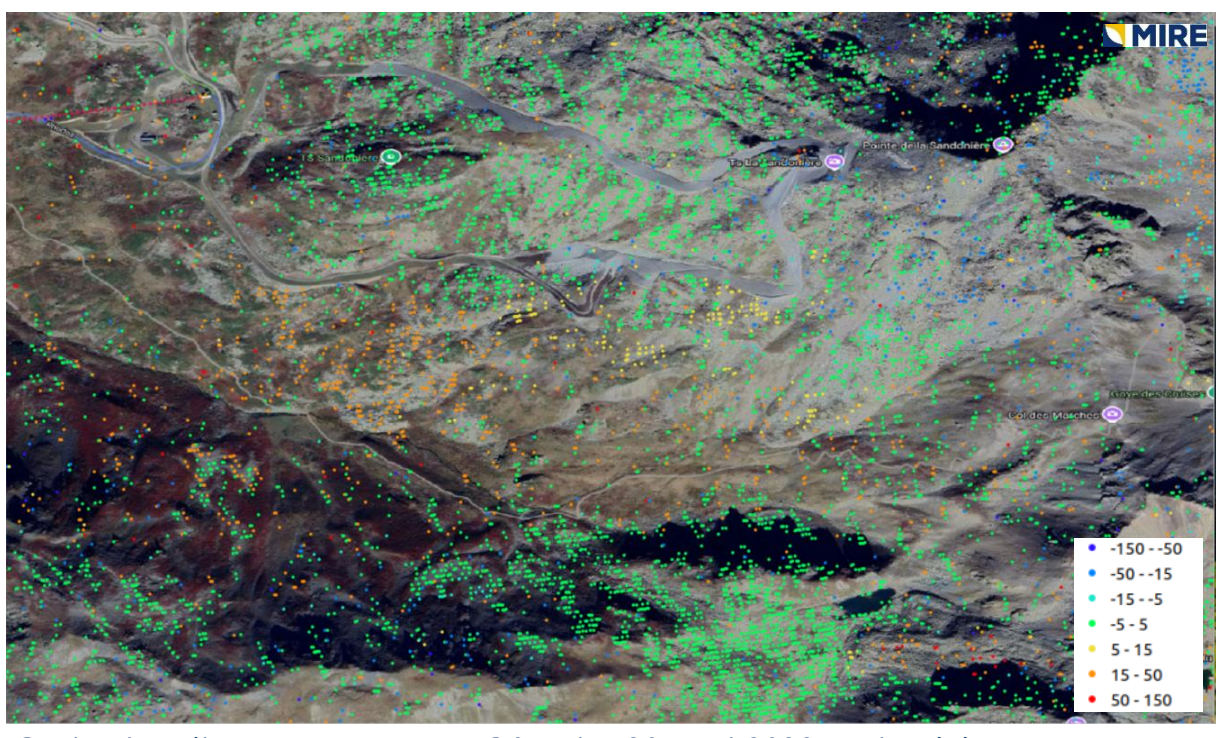




InSAR, un outil pour les stations de skis



Carte des vitesses moyennes LOS entre 2019 et 2023, Valmeinier - EGMS

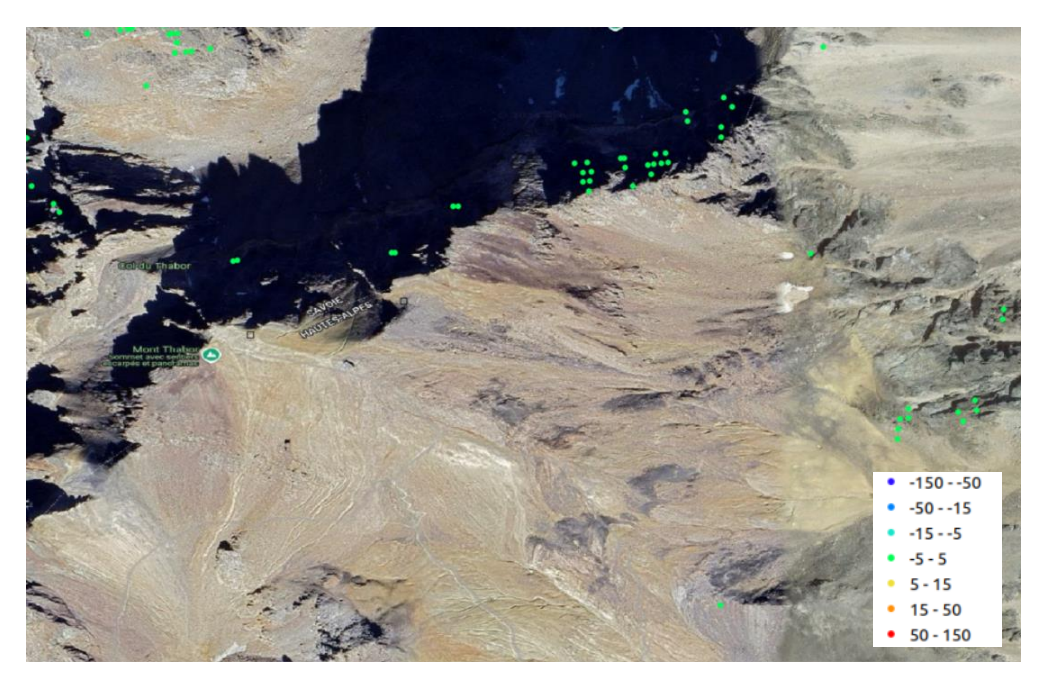


Carte des vitesses moyennes LOS entre 2015 et 2023, Valmeinier - MIRE

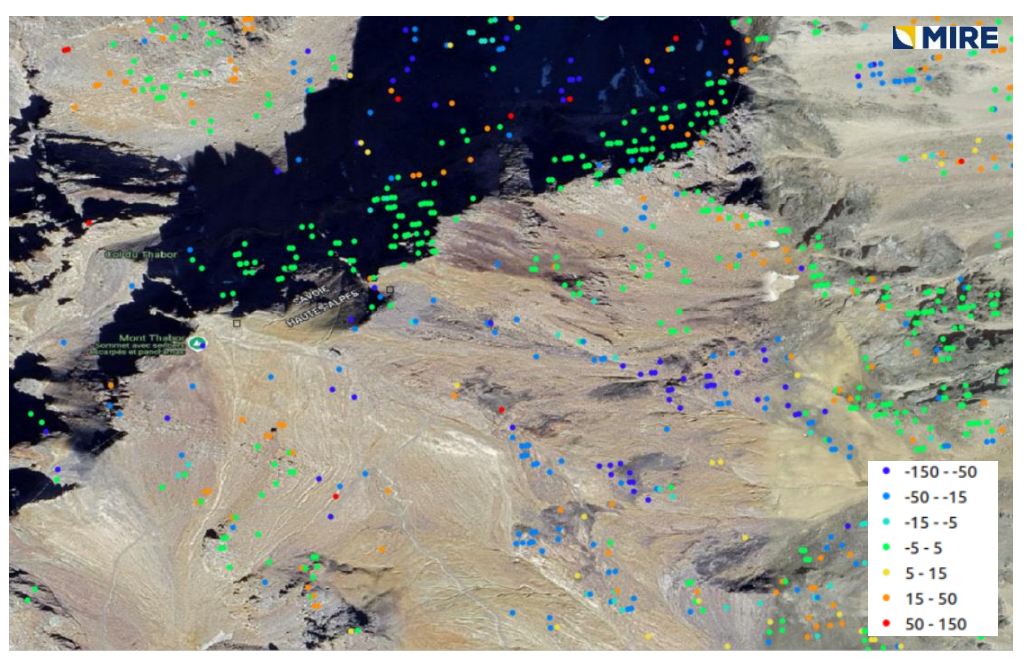




Potentiel d'application pour la haute montagne



Carte des vitesses moyennes LOS entre 2019 et 2023 - EGMS



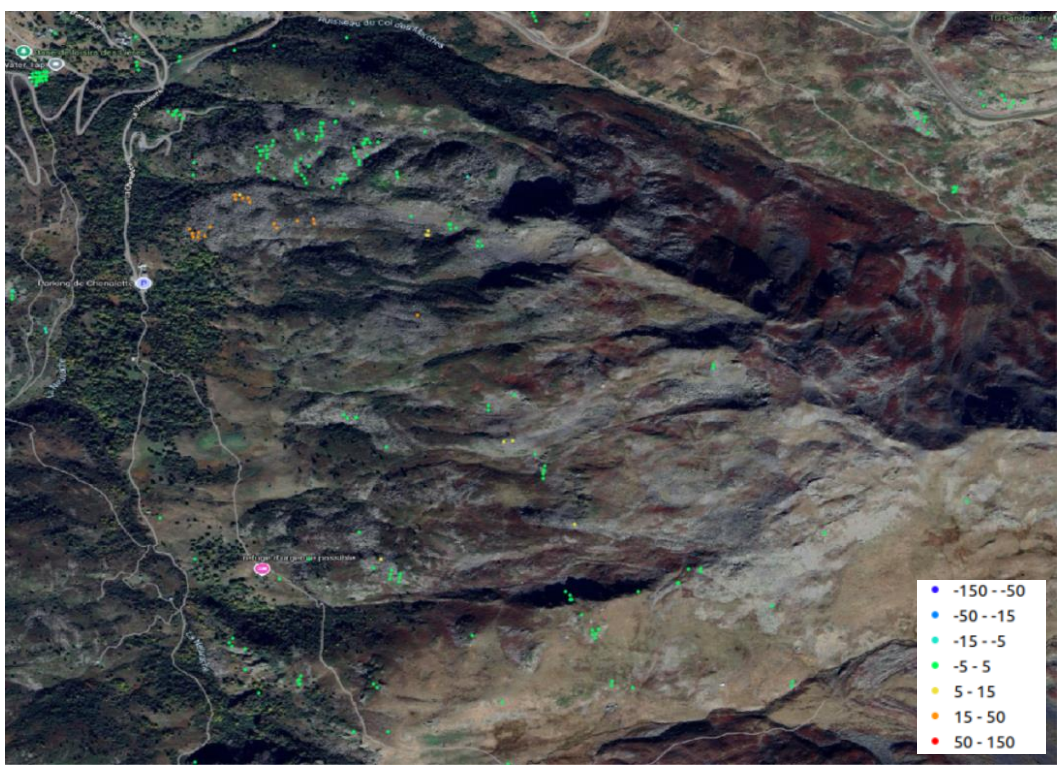
Carte des vitesses moyennes LOS entre 2015 et 2023 - MIRE



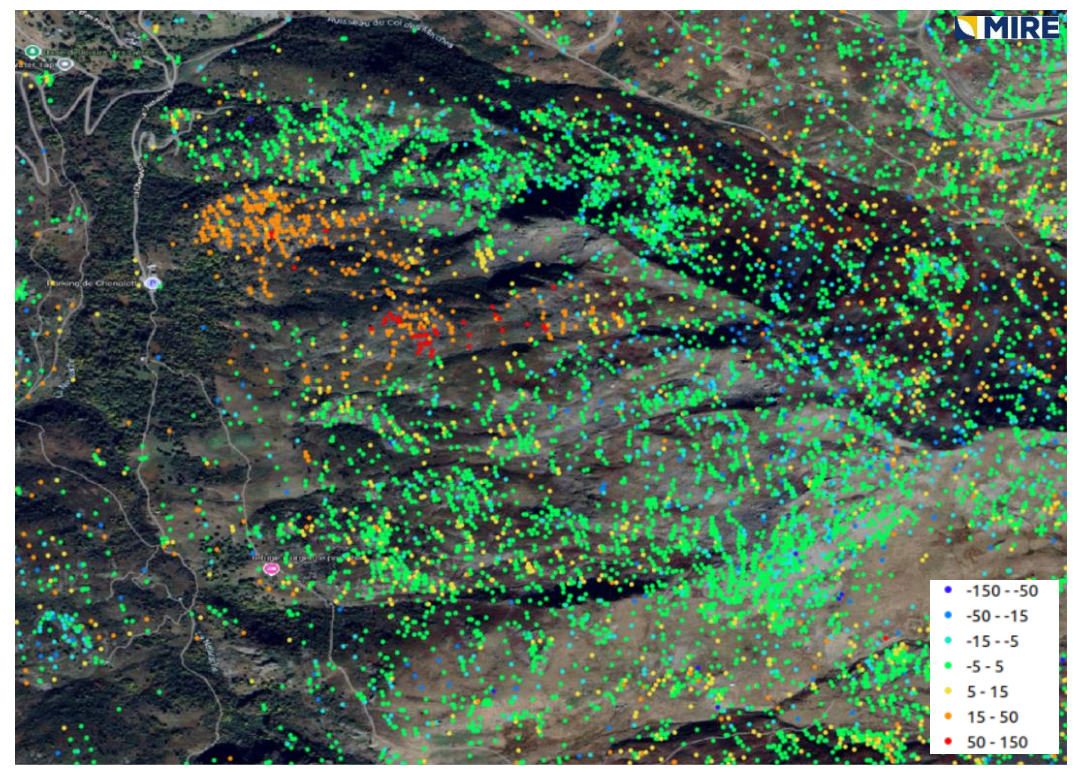




S1A/S1C: temps de revisite court = +20 images sur 5 mois



Carte des vitesses moyennes LOS entre 2019 et 2023 - EGMS



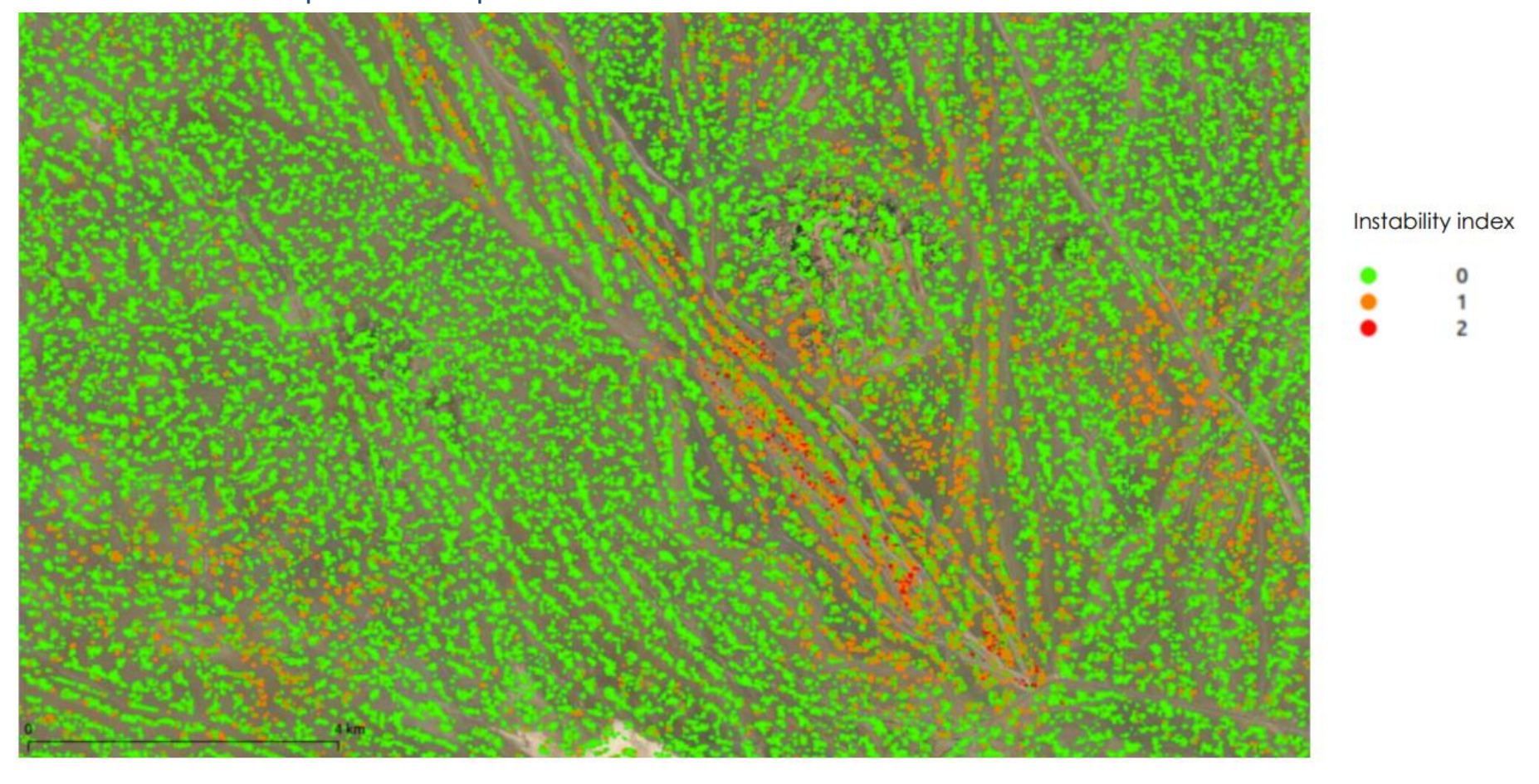
Carte des vitesses moyennes LOS entre Juin 2021 et Octobre 2021 - MIRE







- Information de stabilité simplifiée
- Index calculé à partir des déplacements verticaux et horizontaux











Potentiel d'utilisation de l'InSAR

- Outil **tout temps** d'une grande précision mesures 1D Interprétation déplacement horizontal & vertical possible intervalles de plusieurs jours
- Cartographie des aléas et suivi de l'évolution des vitesses de déformations phénomènes +/- lents
- Le choix des données (longueur d'onde, résolution, période d'acquisition) et des méthodes doit être adapté au contexte des déplacements gravitaires
- Un suivi de la qualité des résultats doit être fourni
- Sentinel-1C: retour de la disponibilité à 6 jours

L'InSAR de demain

- Bande X: NIMBUS X-Band Orbite relativement verticale, sensibilité déplacement Nord Sud
- Bande L: lancement de NISAR en 2025 et Rose-L en 2028



